

液体ダンパー (TLD) による 海洋構造物の波浪振動制御に関する研究

WAVE-EXCITED STRUCTURAL VIBRATION MITIGATION WITH TUNED LIQUID DAMPER

董 勝¹, 李華軍², 高山知司³

Sheng DONG, Hua-Jun LI, Tomotsuka TAKAYAMA

¹工博 京都大学防災研究所 (〒611-0011 宇治市五ヶ庄)

²工博 中国青島海洋大学工学部 (〒266003 中国青島魚山路5号)

³フェロー 工博 京都大学防災研究所 教授 (〒611-0011 宇治市五ヶ庄)

The major objective of this study is to experimentally and theoretically investigate the characteristics of rectangular Tuned Liquid Damper (TLD) under wave excitation. An obvious engineering motivation for this study is to explore the applicability of TLDs for suppressing the structural vibration of offshore platforms. The structural model used to perform experiments is scaled according to a full size platform by matching their dynamic properties. Rectangular TLDs of different sizes and water depths are examined. By observing the performance and the behavior of TLDs through laboratory experiments, the influence of a number of parameters is investigated. In an analytical or numerical study, a mathematical model that describes the nonlinear behavior of liquid in TLD and the interaction between TLD and structure is prerequisite. Validity of the mathematical model to simulate the behavior of liquid in TLD and TLD-structure interaction has been evaluated based on the experimental results.

Key Words: *offshore platform, tuned liquid damper, structural vibration, rectangular container, shallow water wave theory*

1. まえがき

脚柱式プラットフォームは海洋資源の開発、利用などに広く用いられている。海洋開発の進歩につれて、プラットフォームの建造水深はだんだん深くなっている。例えば、Mexico Gulfでは、水深300mを超える地点に建設が計画されている。このような深い水深におけるプラットフォームの設計理念は、他の構造物と同様に、安全性や経済性などについて最適なものを追求することにある。安全性の追求は、波浪、風、流れあるいは潮汐などの荷重に対し、構造部材応力を許容限度内におさえることおよび波浪による構造物の動的応答変位を最小におさえることが主な目的である。

Tuned Liquid Damper(以下TLD)を利用して、海洋構造物の振動を減少させる方法は地上構造物に対する振動制御法として最初に提案された¹⁾。TLDはTuned Mass Damper(以下TMD)と原理が似ている。

TLDによる海洋構造物の振動振幅の減少は建築物に作用する波力とは異なる方向に作用するスロッシング波力が作用するためである。底面と側壁での液体の摩擦およびスロッシングの碎波によってエネルギー逸散が生じる。

本研究では、実験と理論によって波浪による構造物の振動をTLDを用いて制御したときの構造物の振動特性を解析したものである。そして、海洋構造物に対してTLDによる振動制御の可能性についても検討している。

2. 解析理論

(1) 基礎方程式の定式化

図-1に示すように、TLDとして容器をプラットフォームの上に置く。静止液面の中央に原点oをとり、水平方向にx軸、垂直方向にz軸をとる。x方向の容器幅をR、静止時の液深を h_T で一定とし、容器

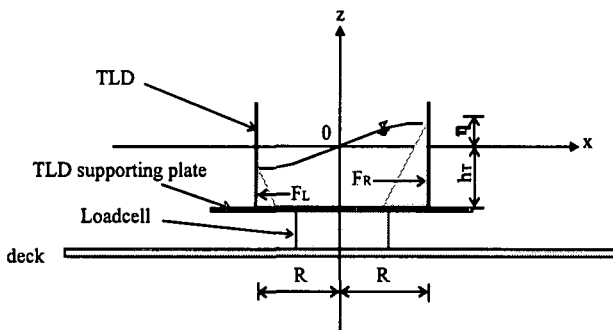


図-1 TLD スロッシング座標系

は x 方向に x_s なる強制変位を受けるものとする。解析に当たり、以下の仮定をする。

- 容器内液体は、非圧縮、非粘性、非回転である。
- 自由表面では、圧力は一定とする。
- 内摩擦は容器底面に存在する。
- 本研究では、TLD とともに移動する座標系 (x, z) を用いて $x-z$ 平面内の二次元流れだけを考える。

容器内の非線形スロッシングについて多くの文献が発表されている^{2),3),4),5)}。本研究は Sun のモデルを用いた⁶⁾。その基礎方程式を以下に示す。

$$\frac{\partial \eta}{\partial t} + h_T \cdot \sigma \frac{\partial(\phi \cdot u(\eta))}{\partial x} = 0 \quad (1)$$

$$\begin{aligned} \frac{\partial u(\eta)}{\partial t} + g \frac{\partial \eta}{\partial x} + \frac{1 - T_H^2}{2} \frac{\partial(u(\eta))^2}{\partial x} + g h_T \sigma \phi \frac{\partial^2 \eta}{\partial x^2} \\ = -\lambda \cdot u(\eta) - \ddot{x}_s \end{aligned} \quad (2)$$

ここで、 η は容器内の液面変位、 $u(\eta)$ は水面における水粒子の水平方向の速度、 g は重力加速度、 h_T は液面静止時における容器内の水深、 σ, ϕ を $\sigma = (\tanh kh_T)/(kh_T)$, $\phi = T_H/(\tanh kh_T)$ と定義する。ここで、 $T_H = \tanh kh_T(1 + \eta/h_T)$ 、 \ddot{x}_s は容器（デッキ）の加速度、 λ は容器底面、側面および水面の減衰の影響を表す係数で、式(3)で表される。

$$\lambda = -\frac{1}{\eta + h_T} \sqrt{\omega_T \cdot v} (1 + 2 \frac{h_T}{B} + s) \quad (3)$$

ここで、 ω_T は容器の加振角振動数、 v は容器中の液体の粘性係数、 B は容器の奥行きである。 s は Miles により提案された水面の汚れの影響を表す項であり⁷⁾、理論的には 0 から 2 の間で変化するが、充分に汚れた水面に対応した $s=1$ としても問題ないことが示されており、本研究では $s=1$ とした。

側壁と底面における境界条件としては、境界法線方向の流速を 0 としている。また、水面での条件としては圧力が大気圧力に一致させている。

(2) TLD とプラットフォームの相互作用模型

波浪による振動を対象とする場合、プラットフォームのような柱状構造物では、1 次モードに対する変位応答を x_s とすると、図-2 に示す TLD-プラットフォームの振動方程式は、次式のように表すができる。

$$m_s \ddot{x}_s + c_s \dot{x}_s + k_s x = F_T + F_e \quad (4)$$

ここに、 m_s は 1 次モードの一般化質量であり、減衰定数を ξ_s 、固有円振動数を ω_s とすれば、 $c_s = 2m_s \omega_s \xi_s$ であり、 $k_s = m_s \omega_s^2$ である。

また、 F_e は波浪外力を表し、Morison 方程式によつて計算することができ⁸⁾、 F_T は構造物の振動に対して制振力として作用する TLD の流体反力をあり、次式により算定される。

$$F_e = C_m \rho \frac{\pi \cdot d_e^2}{4} \dot{u} + C_d \frac{\rho \cdot d_e \cdot u \cdot |u|}{2} \quad (5)$$

$$F_T = \frac{\rho g B}{2} [(\eta_R + h_T)^2 - (\eta_L + h_T)^2] \quad (6)$$

ここに、 ρ は容器中の液体の密度であり、 η_R と η_L は容器の右側壁と左側壁の液面高さである。

数値計算モデルとしては、TLD 内に発生する波動の運動方程式と構造物の一自由度運動方程式を連立させて計算している。すなわち連立した式(1)、(2)及び(4)を差分法によって数値的にとくことにした。実際の計算では、Rung-Kutta-Gill 方法を使用して振動変位 x_s を算出した。

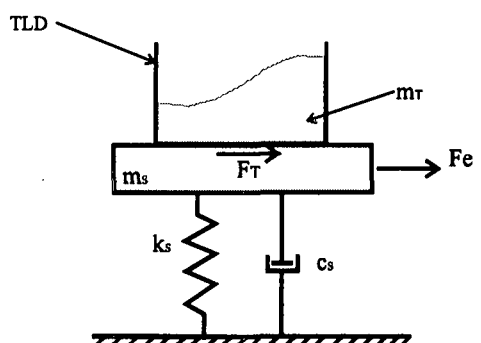


図-2 TLD-プラットフォームの構造系

3. 実験

(1) 概要

研究は水理模型実験と数値計算によって検討した。実験は、図-3 に示すように、京都大学防災研究所宇治川水理実験所にある長さ 36m、幅 0.7m、深さ

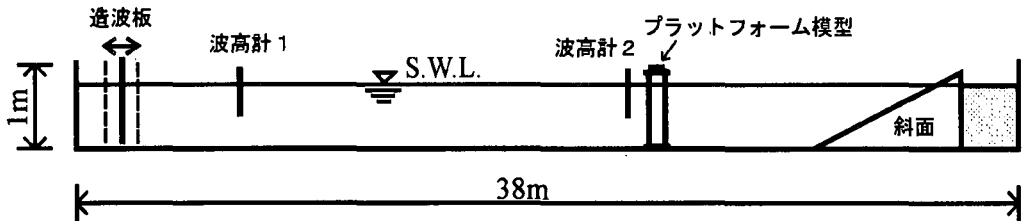


図-3 実験水路と計測装置の配置

0.7m の造波水槽の中に模型のプラットフォームを設置し、レーザー変位計を用いて、デッキ部の振動変位を測定した。その実験の模型縮尺は中国の渤海湾にあるプラットフォームを参考にして決定した。模型は矩形スチールplatをビニール製円柱4本で支持する形状である。プラットフォームのデッキは比重が7.8の鋼製であり、円柱は外径がD=32mmで、t=3.5mmの塩化ビニール製、比重は1.37、ヤング率はE=281KN/cm²である。デッキ重量は約176Nを用いた。模型の固有振動周波数は1.43Hz、減衰定数は1.84%である。実験時の水深はh=50cmであり、使用した波浪は、周期がT=1.3~1.8sec、波高がH=6~14cmの範囲のものである。

実験では使用したTLDの容器はプラスチックで製作した。図-4に示すようにTLDの諸元は長さを2R、幅をB、深さをH_Tである。表-1にTLDのサイズを表す。TLDの実機としては、長さが80cm程度のものを考えられる。

液面動揺の第一次固有振動数f_Tは線形理論⁹⁾によれば、

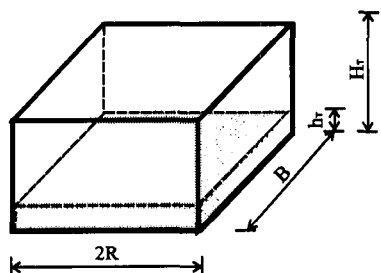


図-4 TLD 概念図

表-1 TLD 主要なパラメータ

Parameter	Symbol	Type			
		TLD1	TLD2	TLD3	TLD4
Inside length (cm)	2R	20	15	15	12
Inside width (cm)	B	15	20	12	15
Depth (cm)	H _T	20	20	20	20
Weight (g)	M _T	750	750	560	560

$$f_T = \frac{1}{2\pi} \sqrt{\frac{1.841g}{R} \tanh \frac{1.841 \cdot h_T}{R}} \quad (7)$$

ここで、h_Tは水が静止するとき、容器中の液体深さである。

(2) 実験方法

a) プラットフォームの固有振動周期の測定

実験ではプラットフォームの固有振動周期、減衰係数等の振動特性を求めて、水中で自由振動実験を実施した。モデルの天端に初期強制変位を与えて、瞬間開放させることによって、自由振動を与えた。記録した減衰曲線から固有振動周期と減衰定数を得られる。

また、プラットフォームの固有周期は1自由度の構造物にモデル化した振動解析を行うことにより算出される。結果は図-5に示す。図-5に示すように測定値と理論値はよく一致している。

b) 質量係数C_mと抗力係数C_dの測定

二次元造波水槽中の波浪運動はStokesの3rd order理論によって計算される。1本の脚柱の底端に貼りつけたStrain gageを利用して、脚柱が受けた波浪力を測定した。その波浪力からMorison方程式のC_m、C_dを最小二乗法で求めた。その結果、C_m=1.5、C_d=1.0となった。

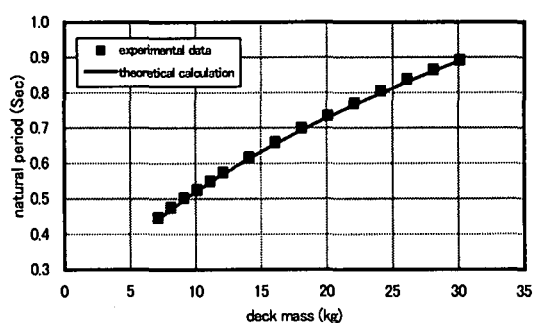


図-5 プラットフォームの固有振動周期

表-2 実験ケース

TLD type	TLD optimum liquid depth			Effect of wave height			Effect of wave period		
	h_T (cm)	H_w (cm)	T_w (Sec)	h_T (cm)	H_w (cm)	T_w (Sec)	h_T (cm)	H_w (cm)	T_w (Sec)
rTLD1	2.5~4.5	12	1.4	3.5	6~14	1.4	3.5	10	1.3~1.8
rTLD2	1.2~2.6			1.8			1.8		
rTLD3	1.2~2.6			1.8			-		
rTLD4	0.8~1.8			1.3	-	-	-	-	-

c)共振時模型振動変位測定

模型をTLDなしの状態で水槽中に置く。波浪の周期は1.4Sec, 模型固有周期の2倍時に共振現象を発生していた。例えば、この周期で規則波高が12cm, 10cmのとき、模型の変位はそれぞれ7.2mm, 4.6cmと測定され、変位量が非常に大きくなっている。

d)波浪により共振の抑制

TLDを利用し、プラットフォームの振動を変化させている。実験に用いたケースを表-2に示す。

4. 実験とシミュレーションの比較

(1)TLD 最適水深の確定

図-6に示すのは、水深 h_T を変位させたとき、プラットフォームの振幅の関係を示したものである。ここで、4種類のTLDを用いた。横軸は相対水深で $r_h = h_T / R$ と表され、縦軸は相対振幅で $r_s = S_r / S_o$ と表される。ここで、 S_r はTLD設置時の最大振幅、 S_o はTLDなしの場合のプラットフォームの最大振幅である。図-6によれば、水深が増加するにつれて、振動幅はだんだん小さくなる。しかし、ある特定値を

超えれば、振幅は再び大きくなる。この特定値は最適TLD水深を決定する。

TLD1, TLD2, TLD3及びTLD4の最適水深は3.5cm, 1.8cm, 1.8cm及び1.3cmであった。TLDを含むプラットフォームの全重量に対するTLD重量の割合は、TLD1からTLD4に関してそれぞれ5.8%, 3.0%, 1.8%, 1.3%となって、TLD重量の占める割合は非常に小さいことがわかる。このことはTLDの重量がプラットフォームの振動モードに対する影響は小さいことを示している。

式(7)によって、水深 h_T とTLDの固有振動数と関係が与えられる。容器の長さがTLD2とTLD3の場合、最適水深は固有振動とほぼ等しい水深のときに、振幅は一番小さくなった。

TLDの振動数がプラットフォームの自由振動数と一致するとき、振幅はTLDとしての効果が高く、このために、このような制振装置を同調液体Damperと呼んでいる。

また、図-6によれば、実験中に用いたTLDは、全水深範囲で振動を抑制する効果があることが明らかになった。

(2) 波浪周期の影響

図-7と8は、波浪周期を変化させた時のプラットフォームの振幅の変化を表したものである。図中の■はTLD非設置時のデッキ変位の左右振動振幅の最大値で、●はTLD設置時のデッキ左右変位の最大値である。破線はシミュレーションによるTLD非設置時デッキ変位における左右動搖の最大値で、実線はシミュレーションによるTLD設置デッキ変位振幅である。横軸は波浪周期と模型自由振動周期の比で、縦軸はデッキ変位と波高の比である。図-7と8によれば、波浪周期はプラットフォーム自由振動周期の2倍数時、振動は一番小さくなる。この特性を使用して、振幅の小さいプラットフォームを設計すればよい。

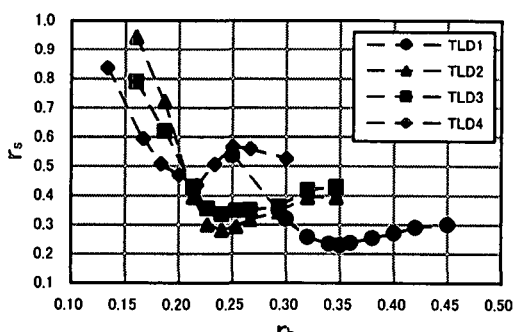


図-6 模型相対振動応答とTLD水深関係

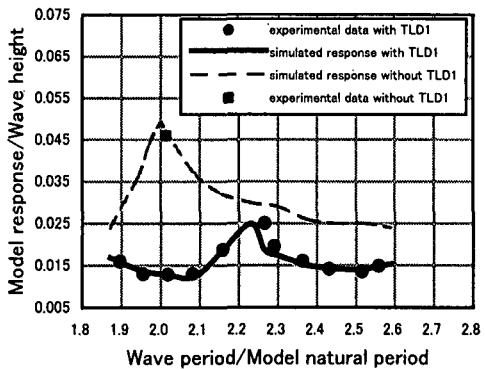


図-7 波周期に対する TLD1 の振動減衰効果についての実験値と計算値の比較

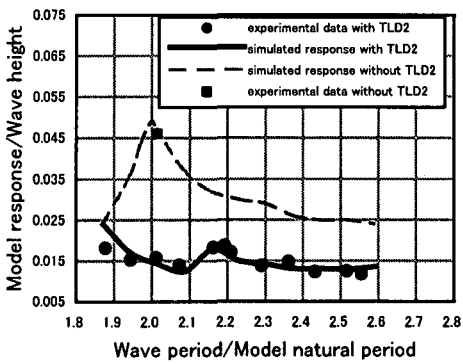


図-8 波周期に対する TLD2 の振動減衰効果についての実験値と計算値の比較

(3) 波浪波高の影響

図-9 は、波浪波高を変化させた時、プラットフォームの振幅の変化を表したものである。図中の●は TLD 設置時のデッキ左右変位振幅の最大値である。破線は理論計算における TLD 非設置時におけるデッキ変位の左右動搖最大値で、実線はシミュレーションによる TLD 設置デッキ変位振幅である。横軸は入射波高で、縦軸はデッキ変位である。図-9 によれば、入射波高が増大するに伴い、デッキ変位は大きくなる。この増加は小さい長さの TLD により、波高は 10cm 時、碎波現象が出現した。それから、波高の増加につれて、変位は大きくなる。このために大きい TLD を採用する方がよいと考えられる。しかし、大きいサイズの TLD について、同じ振動数なれば、水深が大きくなければならない。深い液体は振動時に、ほとんど動かない。そして最適なサイズが存在するものと思われる。これは今後の課題とする。

図-10 および図-11 は図-9 とほぼ同じ傾向を示しているが、図-12 は入射波高が 10cm 以上になる

と、碎波が生じて、実験値が計算値より小さくなっている。これは計算では碎波の影響を考慮していないためである。

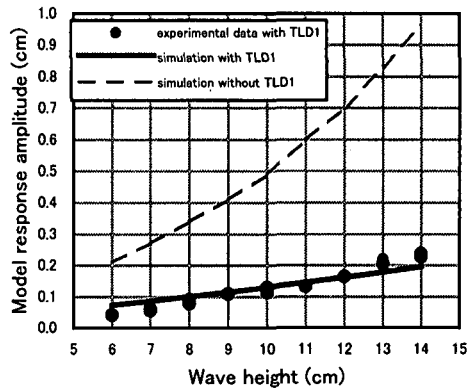


図-9 波高に対する TLD1 の振動減衰効果についての実験値と計算値の比較

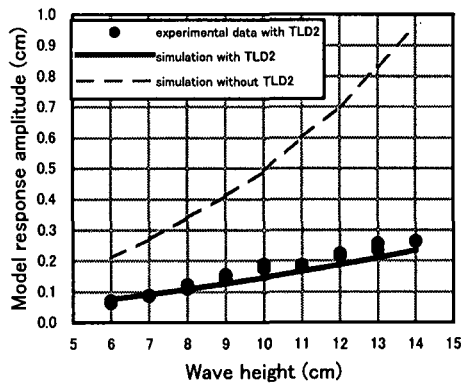


図-10 波高に対する TLD2 の振動減衰効果についての実験値と計算値の比較

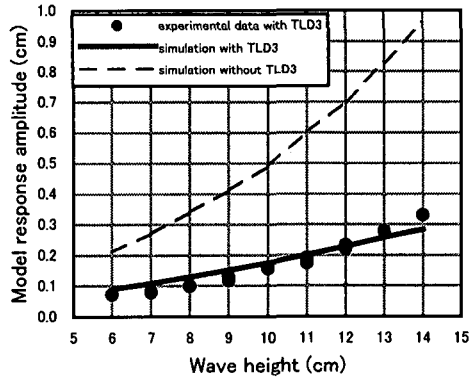


図-11 波高に対する TLD3 の振動減衰効果についての実験値と計算値の比較

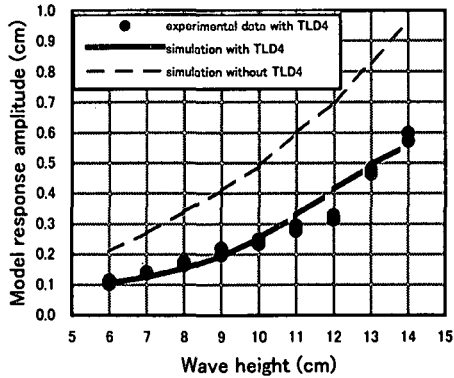


図-12 波高に対する TLD4 の振動減衰効果についての実験値と計算値の比較

5. あとがき

本研究により得られた主要な結論を以下に示す。

(1) 適切にサイズと水深を設定した TLD によってプラットフォームの振動を著しく制御することができ、TLD の効果が明らかになった。

(2) TLD 内の液体動揺周波数がプラットフォームの固有周波数と一致した時に、構造物の振動減衰は最も大きかった。

(3) 本実験で検討した範囲では同じ構造物に対して、TLD サイズが大きいほど減衰効果は大きかった。

(4) 実験によって、入射波の周波数がプラットフォームの固有周波数の約 1/2 倍になったときに、最大の減衰が得られることが分かった。まだ、広い範囲の入射波周波数に対してもプラットフォームの振動は減衰した、このことは不規則波に対するプラットフォームの振動制御に有効であることを示している。

(5) シミュレーション結果と実験結果とはよく一致した。その結果、このモデルが TLD と構造物の相互作用や TLD の最適設計に適用できることが分かった。

最後に、本実験を行った当って、助言と指導をしていただいた京都大学防災研究所藤木繁男技官に深く感謝する次第である。

参考文献

- 1) Housner, G.W.: Dynamic pressure on accelerated fluid containers, *Bulletin of the seismological society of America*, Vol.47, pp15-35, 1957.
- 2) Bauer, H.F.: Oscillations of immiscible liquids in a rectangular container: a new damper for excitation structures, *J. Sound and Vibration*, Vol.93, No.1, pp117-133, 1984.
- 3) Fujino, Y., et al.: Parametric studies on tuned liquid damper (TLD) using circular containers by free-oscillation experiment, *Structural Eng./Earthquake Eng.*, JSCE., No.398, pp381-391, 1988.
- 4) Reed D., et al.: Investigation of tuned liquid dampers under large amplitude excitation, *Engineering mechanics*, Vol.124, No.4, pp405-413, 1998.
- 5) Takayama, T.: Theory of transient fluid waves in a vibrated storage tank, *Rept. Port and Harbour Res.Inst.*, Vol.15, No.2, pp3-53, 1976.
- 6) Sun, L.M., Fujino, Y., Pacheco, B.M., and Chaiseri, P.: Nonlinear waves and dynamic pressures in rectangular TLD-simulation and experimental verification, *Structural Eng./Earthquake Eng.* JSCE, Vol.6, No.2, pp251-262, 1989.
- 7) Miles, J.W.: Surface wave damping in closed basins, *Proceedings of Royal society of London*, A297, pp.459-475, 1967.
- 8) Sarpkaya, T., and Isaacson, M.: Mechanics of wave forces on offshore structures, New York: *Van Nostrand Reinhold Company*, 1981.
- 9) Lamb, H.: *Hydrodynamics*, Cambridge: *Cambridge University Press*, (6th edition), pp.363-475, 1997.